

بررسی و مطالعه تأثیر ماهیت ذرات استحکام دهنده و پارامترهای فرآیند ساخت بر ریزساختار و خواص مکانیکی کامپوزیت‌های ذره ای بر پایه آلومینیم*

مهدی کلانتر^(۱)علیرضا مشرقی^(۲)سید محمد یاسر سلیمانی^(۳)

چکیده

در این تحقیق خواص و رفتار مکانیکی کامپوزیت‌های ذره ای زمینه فلزی بر پایه آلیاژ یوتکتیکی $Al-12\%Si$ و ذرات تقویت کننده Al_2O_3 ، TiC و B_4C ساخته شده به روش ریخته گری گردابی در شرایط مختلف مورد بررسی قرار گرفته است. از پارامترهای مورد بررسی می توان به درصد ذرات استحکام دهنده، دمای ریختن مذاب، سرعت و زمان هم زدن مذاب و نوع همزن اشاره نمود. به دلیل سبک بودن و قابلیت اکسیداسیون ذرات بخصوص در مورد TiC و B_4C اضافه کردن آنها به واسطه فویل های آلومینیومی انجام گرفته که توزیع بهتری را نشان می دهد و شدت اکسیداسیون کمتری حاصل می شود. نتایج نشان می دهد که ریخته گری مذاب در بازه دمایی $700-750^\circ C$ ، سرعت هم زدن در بازه $700-750$ دور بر دقیقه، استفاده از همزن با پره های توربینی و با زاویه 30° درجه نسبت به محور دوران، افزودن ذرات سرامیکی تقویت کننده با نرخ $0.375-1.2$ گرم بر ثانیه و زمان همزندن حداکثر تا ۶ دقیقه برای ذرات کاربیدی و حداکثر تا ۱۷ دقیقه برای آلومینا، کامپوزیتی با توزیع یکنواخت تری از ذرات و با خواص مکانیکی بالاتر را داده بدون اینکه مشکلات مربوط به جذب گاز های محیطی و اکسیداسیون را به دنبال داشته باشد. مشاهدات میکروسکوپی و نتایج مربوط به خواص مکانیکی نشان می دهد که $Al-Al_2O_3$ و در درجه بعد $Al-TiC$ قابلیت ترشوندگی و توزیع بالاتری در مذاب نسبت به $Al-B_4C$ دارند به طوری که افزایش تا کمتر از 25% برای آلومینا و کمتر از 18% برای کاربید تیتانیم و زیر 10% کاربید بور توزیع ذرات یکنواخت بوده و خواص مکانیکی افزایش می یابد. با وجود این کامپوزیت $Al-10\%B_4C$ بالاترین خواص مکانیکی را داده است.

واژه های کلیدی کامپوزیت، آلومینیم، ریزساختار، خواص مکانیکی، ریخته گری گردابی، اکسید آلومینیم، کاربید تیتانیم، کاربید بور.

Investigating the Influence of Type and Amount of Reinforcement Particles and Processing Parameters on the Micro Structure and Mechanical Properties of Aluminum Matrix Composites

M. Kalantar

A. Mashreghi

S.M. Solimani

Abstract

Al-12%Si metal matrix composites reinforced with 6-25 vol% of Al_2O_3 , TiC and B_4C reinforcement particles, were fabricated by stir casting. The microstructure, density, porosity, micro-hardness, tensile strength of composites were evaluated. Microstructure and mechanical properties characterization showed uniform reinforcement distribution and increasing of hardness and tensile strength of composites samples with increasing of Al_2O_3 (<25 vol%), TiC (<18 vol%) and B_4C (<10 vol%). For Al-5% Al_2O_3 , various parameters of stir casting processing such as temperature of molten metal, rate and time of stirring, Type of agitator, were investigated. The results show that fabrication of composites in condition of 700- 750 rpm for agitator, 17 minutes of agitation for alumina and 6 min for carbides particles, using of zirconia- coated agitator with blades in angle of 30° in relation to rotation axis, adding of ceramic particles with speed of 0.375-1.2 gr/sec, temperature of casting of $700-750^\circ C$ give the optimum reinforcement distribution, wetting and quantity of porosity.

Key Words Composites, Matrix metallic, Microstructure, Mechanical Properties, Stir Casting, Al_2O_3 , B_4C , TiC .

* نسخه نخست مقاله در تاریخ ۸۸/۸/۲۴ و نسخه پایانی آن در تاریخ ۸۹/۳/۹ به دفتر نشریه رسیده است.

(۱) عهده دار مکاتبات: استادیار، دانشکده مهندسی معدن و متالورژی، دانشگاه یزد

(۲) استادیار، دانشکده مهندسی معدن و متالورژی، دانشگاه یزد

(۳) دانشجوی کارشناسی ارشد، دانشکده مهندسی معدن و متالورژی، دانشگاه یزد

مقدمه

نیاز های روز افزون انسان و منابع رو به پایان مواد خام طبیعی مانند فلزات او را واداشته تا با استفاده از تکنولوژی مدرن، موادی تولید نماید که با به کار گرفتن آنها، بیشتر نیازهای خود را با حداقل هزینه تأمین نماید. کامپوزیت های فلزی از جمله این مواد هستند. در این نوع کامپوزیت ها یک زمینه فلزی چون تیتانیوم، آلومینیوم و منیزیم با استفاده از استحکام دهنده های سرامیکی به شکل الیاف یا ذرات و یا ویسکوز مورد استحکام دهی قرار می گیرد. عموماً عوامل تقویت کننده ذراتی چون Al_2O_3 ، SiC ، ZrO_2 ، B_4C ، TiC ، SiO_2 ، TiB_2 ، WC ... می باشند. کامپوزیت های زمینه فلزی می توانند بر حسب ماهیت و درصد حجمی فازهای استحکام دهنده و زمینه، نوع عملیات حرارتی انجام شده و نوع و شرایط فرآیند ساخت بر روی آنها از استحکام و مدول الاستیسیته بالا، ضریب انبساط حرارتی کم و مقاومت به سایش عالی برخوردار باشند [1-15]. کامپوزیت های زمینه فلزی به عنوان دسته ای از مواد پیشرفته در مقایسه با فلزات و آلیاژهای معمولی دارای مزایایی چون صرفه جویی وزنی به خاطر نسبت استحکام به وزن مخصوص بالا، پایداری ابعادی بهتر به دلیل ضریب انبساط حرارتی پایین تر و مقاومت به خزش، مقاومت به خستگی سیکلی و مقاومت به سایش بالاتر می باشند. کامپوزیت های زمینه فلزی به عنوان دسته مهمی از مواد پیشرفته کاربرد های فراوانی در صنایع وسایل نقلیه زمینی، هوا-فضا چون موتورهای راکت ها و هواپیماها، تجهیزات دریایی، الکترونیکی، الکتریکی، حرارتی، راکتورهای هسته ای، ساینده ها و قطعات سایشی پیدا نموده و به علت سهولت امکان تولید نسبت به سایر کامپوزیت ها در محدوده وسیعی از کاربردها مورد توجه قرار گرفته اند [16-17]. روش های تولید کامپوزیت های زمینه فلزی در سه حالت جامد (متالورژی پودر، زینترینگ معمولی، پرس گرم فورجینگ، اکستروژن، نورد و ترکیبی از آنها، اتصال نفوذی، شوک انفجاری،...)، مایع (گردابی، گریز از

مزکز، تحت فشار، نیمه مایع - نیمه جامد نفوذ دهی، در جا، پاششی،...) و گازی (رسوب فیزیکی و شیمیایی از فاز بخار،...) مورد بررسی قرار می گیرند. استفاده از روش های متداول شکل دهی فلزات با هزینه تولید نسبتاً پایین برای تولید کامپوزیت های زمینه فلزی از امتیاز مهم این نوع کامپوزیت ها محسوب می شود. در این میان کامپوزیت های قابل تولید توسط ریخته گری گردابی از نظر اقتصادی مقرون به صرفه بوده و همین طور قطعات با تنوع گوناگونی از نظر شکل و ترکیب قابلیت تولید دارد؛ اما با وجود این مشکل ترشوندگی ذرات سرامیکی توسط مذاب و به دست آوردن توزیع مناسب از فاز ثانویه در زمینه وجود دارد [21-18]. استفاده از فرآیندهای تغییر شکل پلاستیک نظیر اکستروژن، نورد و آهنگری بر روی شمش های ریخته گری کامپوزیتی باعث کاهش تخلخل، شکسته شدن خوشه های ذرات و بهبود پیوند بین ذره و زمینه می شود. در این تحقیق تأثیر عوامل نوع و درصد ذرات استحکام دهنده سرامیکی ($TiC-Al_2O_3-B_4C$) و همین طور پارامترهای مربوط به فرآیند تولید به وسیله ریخته گردابی بر روی ریزساختار و خواص فیزیکی و مکانیکی کامپوزیت با زمینه آلیاژ آلومینیم-۱۲٪ سیلیسیم مورد بررسی قرار گرفته است.

روش تحقیق

ترکیب آلیاژ مورد استفاده به عنوان زمینه فلزی در جدول (۱) آمده است. ذرات سرامیکی TiC (۸۰ میکرون، اکراین)، Al_2O_3 و B_4C (۱۲۰ میکرون MPCO چین) با خلوص حداقل ۹۸٪ به عنوان عوامل استحکام دهنده مورد استفاده قرار گرفته اند. برای تولید نمونه های کامپوزیتی عمل ذوب شدن تحت یک پوشش محافظ چون نمک کریولیت در کوره الکتریکی انجام گرفته تا از تماس مذاب با محیط اطراف و انجام فعل و انفعالات اکسیداسیون و یا جذب گاز جلوگیری شود. برای تهیه آلیاژ Si ۱۲/۱٪ - Al از هاردنر Si ۲۷/۵٪ - Al استفاده گردید. پس از آماده سازی مذاب در دمای حدود ۶۷۰ درجه سانتیگراد گاززدایی توسط

شده تا یک میکرون (خمیر الماسی یک میکرون) و اچ شیمیایی شده با محلول HF ۰/۵٪ به مدت ۵ ثانیه با استفاده از میکروسکوپ های نوری و الکترونی انجام گرفت. رفتار و خواص مکانیکی کششی نمونه های کامپوزیتی (استحکام تسلیم، نهایی و استحکام شکست، کرنش شکست) با استفاده از دستگاه اینسترون مدل ۵۵۸۶ طبق استاندارد MPIF43-1986 انجام گرفت. سختی نمونه ها بر اساس سختی برینل (قطر ساچمه ۲/۵ میلیمتر و نیروی ۶۲/۵ کیلوگرم) تعیین گردید. دانسیته نمونه با استفاده از روش ارشمیدس تعیین گردید. میزان تقریبی تخلخل از رابطه زیر تعیین گردید:

$$\frac{(\rho_{th}-\rho_{exp})}{\rho_{th}}$$

ρ_{exp} : دانسیته تجربی به دست آمده از روش ارشمیدس،

ρ_{th} : دانسیته تئوری کامپوزیت طبق قانون مخلوط ها

در آزمایشات تعیین خواص برای هر مورد اندازه گیری حداقل سه نمونه مورد استفاده قرار گرفت. آزمایشات میکرو سختی (Future Tech-Sm-300) تحت نیروی بین ۳ الی ۱۰۰ گرم و مدت زمان اعمال نیروی ۵ ثانیه انجام گرفت

نتایج و بحث

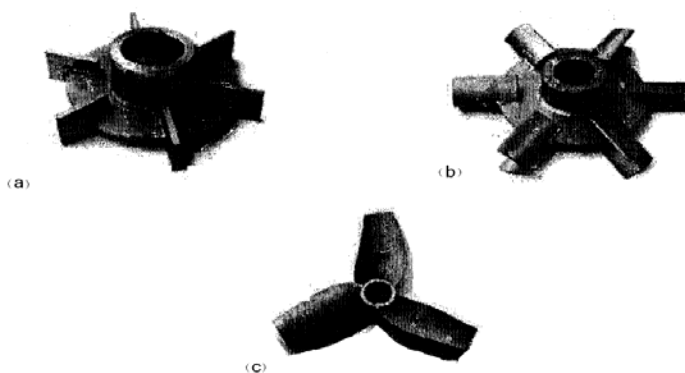
پارامترهای مربوط به فرآیند تولید. اگر سرعت ورود ذرات به داخل مذاب بالا باشد امکان همگن سازی وجود نداشته و توزیع خوبی از ذرات در زمینه حاصل نمی شود. اگر سرعت ورود ذرات پایین باشد زمان عملیات تزریق به درازا می کشد که کاهش سیالیت مذاب، اکسیداسیون و جذب گازهای اتمسفری را به دنبال دارد در این تحقیق بنا به نتایج تجربی آورده شده در منابع سرعت ورود ذرات حدود ۰/۲۷۵ گرم بر ثانیه در نظر گرفته شد [22].

قرص دگازر (هگزاکلرواتان) انجام گرفت. پس از رساندن مذاب به دمای مورد نظر، حدود ۱۰۰۰-۷۰۰ درجه سانتیگراد، ذرات استحکام دهنده که تا دمای نزدیک به دمای مذاب برای آلومینا و ۴۰۰-۳۰۰°C برای ذرات کاربیدی پیش گرم شده اند، به وسیله یک ناودانی با درصد مورد نظر (۲۵-۵٪) و با سرعت حدود ۱/۲ - ۰/۲۷۵ گرم بر ثانیه وارد می شوند. در ضمن ورود ذرات، مذاب توسط یک همزن که از قبل پیشگرم شده با سرعت مورد نظر (دور بر دقیقه ۹۰۰ - ۷۰۰) به تلاطم در می آید. از همزن های الکتریکی با اندازه و شکل های مختلف از نظر تعداد پره (۲، ۴ و ۶ پره) و طول پره ها از ۲ تا ۴ سانتیمتر اما با زاویه معین ۳۰ درجه استفاده گردید. برای جلوگیری از واکنش بین مذاب و پره های همزن یک پوشش سرامیکی با استفاده از فرآیند های الکترولس و یا اسپری دوغاب سرامیکی (دوغابی از ZrO_2 یا مخلوطی از گرافیت ۲۰٪ + ۵٪ سیلیکات سدیم + ۵٪ بنتونیت + آب ۷۰٪) بر روی سطوح همزن پیش گرم شده اعمال گردید؛ به طوری که همزن تا ۳۰۰°C پیشگرم شده و به مدت حدود ۵ ثانیه در داخل دوغاب قرار می گیرد. مدت زمان همزدن مذاب با توجه به حساسیت پودر بین ۶-۱۰ دقیقه متغیر بوده به طوری که برای Al_2O_3 تا ۱۰ دقیقه اما برای پودر های TiC و B_4C به دلیل حساسیت به اکسیداسیون حداکثر ۶ دقیقه در نظر گرفته شد. برای جلوگیری از سرد شدن بوتله یک مشعل گازی در تمام مدت همزدن بوتله را گرم نگه می داشت. ریخته گری در داخل قالب آبگرد انجام گرفت.

مشاهدات ریزساختاری جهت چگونگی توزیع اندازه ذرات، دانه بندی زمینه و چگونگی توزیع تخلخل ها بر روی نمونه های کامپوزیتی متالوگرافی

جدول ۱ آنالیز آلیاژ آلومینیم-سیلیسیم مورد استفاده به عنوان زمینه برای ساخت انواع کامپوزیت ها

عنصر	Al	Si	Mg	Ni	Cu	Fe	Mn	Ti	Zn
٪	۸۷/۳۰	۱۲/۱	۰/۰۲	۰/۰۱	۰/۰۱	۰/۱	۰/۱	۰/۰۱	۰/۱۵



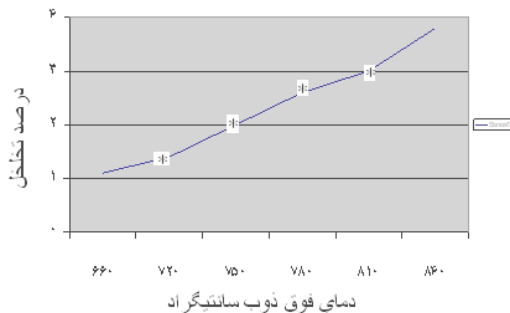
شکل ۱ همزن های به ترتیب (a) و (b) همزن با سیلان شعاعی و (c) همزن با سیلان محوری [22]

دقیقه) اغتشاش و تلاطم شدید باعث مکش شدید حباب‌های هوا به داخل سیال گردیده و افزایش تخلخل را به دنبال دارد در حالی که هیچگونه کمکی به ترشوندگی ننموده و باعث راندن ذرات تقویت کننده به اطراف می‌شود. از طرفی تماس مذاب با هوا افزایش یافته و افزایش اکسیداسیون را به دنبال دارد. در سرعت‌های کمتر از سرعت بحرانی برش کافی در مذاب ایجاد نشده و گرداب مناسبی برای کشیدن ذرات به داخل مذاب به وجود نمی‌آید و از این رو، احتمال تجمع ذرات در سطح مذاب وجود دارد [23-27]. در این تحقیق، دوران با سرعت‌های مختلف از ۲۰۰ تا ۱۵۰۰ دور بر دقیقه انجام گرفت. به طوری که مطابق نتایج به دست آمده با افزایش سرعت همزنی میزان تخلخل کامپوزیت تقریباً به صورت خطی افزایش می‌یابد، (شکل ۲). سرعت همزنی باید بهینه بوده تا ضمن اینکه توزیع خوب ذرات را تضمین می‌نماید از محبوس شدن گازهای محیطی جلوگیری نماید. سرعت بهینه در این تحقیق ۷۵۰ دور بر دقیقه در نظر گرفته شد.

مذاب آلومینیم در دمای ریخته‌گری تقریباً رفتار مشابه یک سیال نیوتنی شبه پلاستیک را داشته به طوری که با افزایش زمان همزدن و اعمال تنش برشی ویسکوزیته کاهش می‌یابد که به خروج گازهای محبوس شده و غوطه ورسازی ذرات تقویت کننده در

عمل هم زدن دو نقش مهم کشیدن ذرات به داخل مذاب و مجزا نگه داشتن آنها از یکدیگر را دارد و ذرات تحت تأثیر نیروی وارده و شرایط ایجاد شده به صورت غوطه وری قرار می‌گیرند. معمولاً همزن هایی که بتوانند هر دو حالت سیلان شعاعی و سیلان محوری را ایجاد نمایند، مناسب هستند. در حالت شعاعی تنش برشی بیشتری ایجاد شده و حرکت نسبی بهتری میان لایه های مختلف سیال به وجود می‌آید. در حالت محوری حرکت ستونی و عمودی سیال از بالا به پایین نقش وارد کردن ذرات را بر عهده دارد، (شکل ۱-a). بدین ترتیب این سیلان شعاعی است که از تجمع ذرات جلوگیری نموده و در بهبود تر شوندگی مؤثر می‌باشد، (شکل ۱-b)؛ به همین دلیل از پره های مشابه با (شکل ۱-c) استفاده گردید که هر دو سیلان محوری و شعاعی را از خود نشان می‌دهند. موقعیت همزن در ابتدا به نحوی بوده که فاصله انتهای همزن از کف حدود ۰/۷۵ ارتفاع مذاب باشد تا با ایجاد گرداب در لایه سطحی ذرات را به داخل بکشاند اما پس از آن بتدریج همزن به پایین تر برده شده تا فاصله آن از کف پوته به ۰/۲۵ ارتفاع مذاب برسد. بدین ترتیب تلاطم سطحی کاهش یافته و در ضمن پوسته های اکسیدی سطحی پایداری خود را حفظ نموده و از ورود گازهای محیطی به داخل مذاب جلوگیری می‌نماید. در سرعت‌های بالای همزدن (بالاتر از ۱۴۰۰ دور بر

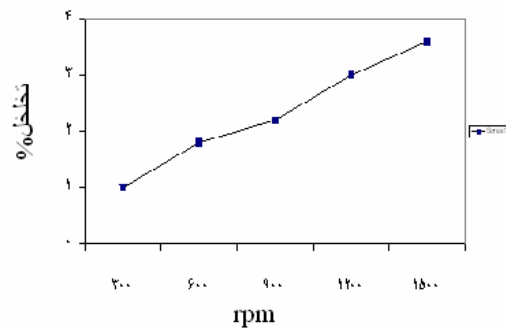
برای دماهای بالای ریخته‌گری انحلال گازهای محیطی در مذاب کامپوزیتی افزایش یافته که افزایش تخلخل در ریزساختار کامپوزیت را به دنبال خواهد داشت، (شکل ۴). از طرفی در دمای فوق ذوب پایین به خاطر عدم سیالت کافی قابلیت خروج گازها کم بوده و امکان محبوس شدن آنها وجود دارد و افزون بر این، امکان آگلومره شدن ذرات نیز وجود دارد. در این تحقیق دمای فوق ذوب در بازه $720-750^{\circ}\text{C}$ در نظر گرفته شد چرا که مطابق شکل (۴) در بالاتر از این بازه دمایی شیب منحنی افزایش درصد تخلخل به طور محسوس تری افزایش می‌یابد. خاطر نشان می‌سازد که در دمای بالاتر به دلیل تشکیل فازهای واکنشی بیشتر، ترشوندگی بهبود می‌یابد. اما احتمال شکل‌گیری فاز کاربید آلومینیم در نتیجه واکنش بین آلومینیم و کربن بونه گرافیتی افزایش می‌یابد که باعث کاهش استحکام می‌گردد.



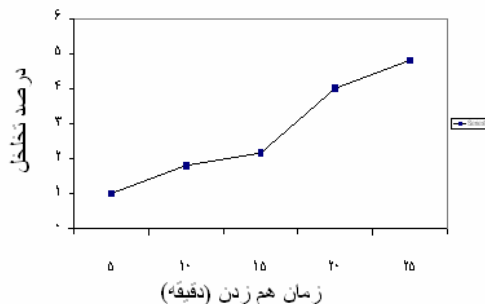
شکل ۴ نمودار تغییرات تخلخل بر حسب دمای فوق ذوب در ساخت کامپوزیت $\text{Al-5\%Al}_2\text{O}_3$ در مدت زمان هم‌زدن ۱۵ دقیقه و سرعت هم‌زنی ۶۰۰ دور بر دقیقه

کسر حجمی ذرات. با افزایش کسر حجمی ذرات پتانسیل جوانه زنی حباب‌های گازی در داخل مذاب افزایش می‌یابد چراکه با حضور ذرات ویسکوزیته مذاب افزایش یافته و نفوذ مذاب بین ذرات کاهش می‌یابد بنابراین قابلیت خروج گازها کاهش می‌یابد. از طرفی با افزایش غلظت ذرات در مذاب فواصل بین ذرات کاهش یافته تا جایی که در یک فاصله بحرانی

مذاب کمک می‌نماید و امکان انجام ساخت کامپوزیت در سرعت‌های هم‌زنی پایین‌تر وجود دارد. اما از طرف دیگر در یک سرعت معین افزایش زمان هم‌زدن شرایط مساعدی برای ورود گازهای محیطی به مذاب و افزایش تخلخل در کامپوزیت را فراهم آورده و همین‌طور خرد شدن تدریجی ذرات تقویت‌کننده را به دنبال دارد. در زمان‌های خیلی کوتاه نیز عمل تلقیح ذرات ناقص بوده و ترشدن بخوبی انجام نمی‌گیرد و ذرات بر سطح مذاب شناور می‌مانند. بدین ترتیب یک زمان بهینه و متوسط لازم می‌باشد که در این تحقیق برای ذرات اکسید آلومینیم ۱۷ دقیقه و برای ذرات کاربید تیتانیم و کاربید بور حدود ۶ دقیقه در نظر گرفته شد. در زمان‌های طولانی‌تر افزایش تخلخل محسوس می‌باشد، (شکل ۳).



شکل ۳ نمودار تغییرات تخلخل بر حسب سرعت هم‌زدن در ساخت کامپوزیت $\text{Al-5\%Al}_2\text{O}_3$ در زمان هم‌زدن ۱۵ دقیقه و فوق ذوب 750°C



شکل ۵ نمودار تغییرات میزان تخلخل بر حسب مدت زمان هم‌زدن برای کامپوزیت $\text{Al-5\%Al}_2\text{O}_3$ در دمای فوق ذوب 750°C و سرعت هم‌زدن ۶۰۰ دور بر دقیقه

به علت ترشوندگی ضعیف ذرات توسط مذاب فیلم مذاب بین ذرات گسسته شده و منجر به تشکیل حفره می‌گردد و در نتیجه درصد تخلخل کامپوزیت افزایش می‌یابد. افزایش کسر حجمی ذرات به بیش از حد بحرانی احتمال خوشه ای شدن ذرات را افزایش داده و کاهش خواص مکانیکی را به دنبال دارد.

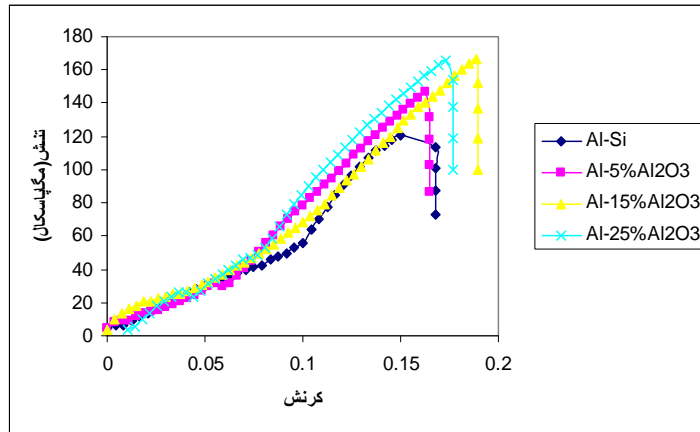
به خصوص تا ۱۵٪ به دلیل حفظ توزیع یکنواخت آنها استحکام کامپوزیت افزایش یافته و بنابر این گلوبی شدن آلیاژ را تا کارسختی های بالاتر به تأخیر می‌اندازد و به همین دلیل میزان کرنش کامپوزیت تا ۱۵٪ افزایش یافته اما در بالاتر از آن به دلایل گفته شده کرنش شکست کامپوزیت کاهش می‌یابد اما در هر صورت بالاتر از آلیاژ زمینه می‌باشد. وجود ذرات سرامیکی باعث ایجاد جوانه زنی ناهمگن سریع در مذاب یوتکتیکی غنی از سیلیسیم در مراحل نهایی انجماد شده به طوری که ساختار یوتکتیکی ظریف و ریزتری حاصل می‌شود، (شکل ۶) که خود نقش مهمی در افزایش خواص مکانیکی دارد. با افزایش درصد آلومینا تا ۲۵٪ حجمی سختی کامپوزیت همواره افزایش می‌یابد، (جدول ۲). هر چند در درصد های بالاتر آلومینا پراکندگی در اندازه‌گیری عدد سختی بیشتر شده که به دلیل افزایش در عدم یکنواختی توزیع ذرات می‌باشد اما در هر صورت میانگین سختی افزایش می‌یابد. کامپوزیت‌های $Al-Al_2O_3$ مشکل ترشوندگی کمتری نسبت به دو گروه دیگر از کامپوزیت‌ها دارد اما با وجود این به دلیل سختی کمتر ذرات آلومینا استحکام دهندگی آن در شرایط معادل پایین تر از ذرات TiC و B_4C می‌باشد.

برای $Al-Al_2O_3$: برای کامپوزیت زمینه آلومینیم استحکام یافته با ذرات اکسید آلومینیم تا مقادیر کمتر از ۲۵٪ استحکام کششی افزایش یافته و در بالاتر از آن کاهش می‌یابد، (جدول ۲ و شکل ۵). در درصد های بالاتر پراکندگی در مقادیر استحکام افزایش یافته که به دلیل خوشه ای شدن ذرات و عدم یکنواختی در توزیع ذرات و ایجاد عیوب و تخلخل در کامپوزیت می‌باشد. استحکام کششی و قابلیت شکل پذیری زمینه با افزایش درصد آلومینا در بالاتر از ۱۵٪ کاهش می‌یابد، جدول (۲) که می‌تواند به دلیل کلوخه ای شدن ذرات و ایجاد تنش موضعی و شکل گیری ریزترک ها در این نواحی، افزایش تخلخل و کاهش چگالی نسبی جدول (۲) به سبب ضعیف شدن اتصال ذرات توده‌ای با زمینه و جوانه زنی حباب های گازی بر روی آنها و همین طور افزایش غیر یکنواختی ریزساختار، شکل (۶) با افزایش مقدار آلومینا باشد. با افزایش ذرات آلومینا

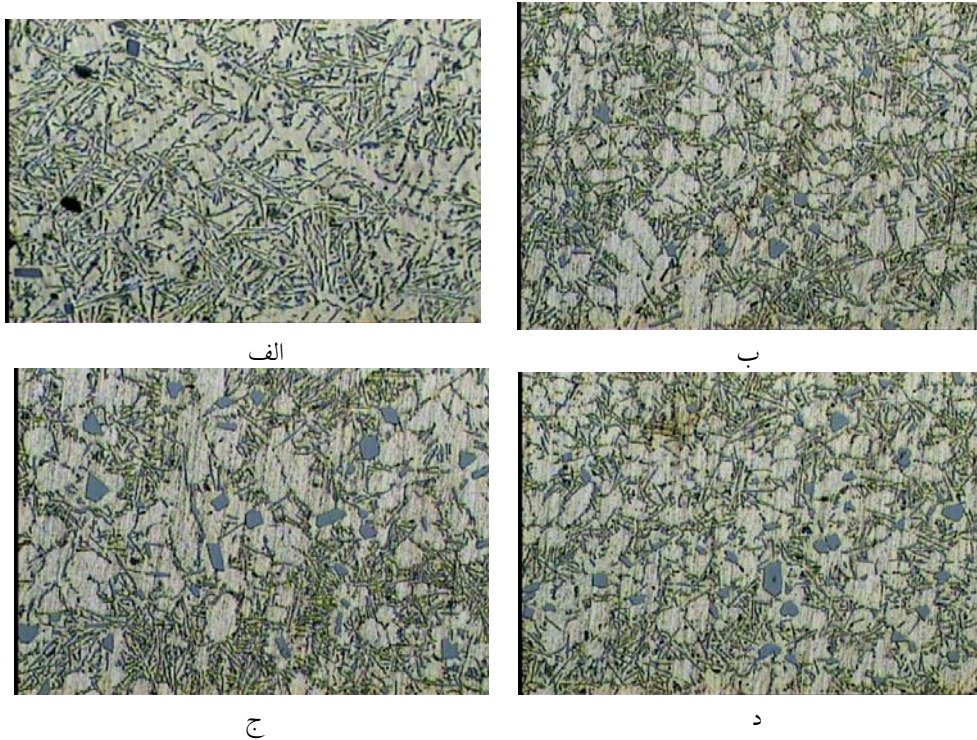
جدول ۲ خواص فیزیکی و مکانیکی انواع کامپوزیت‌های $Al_2O_3/Al-12\%Si$ با درصد های مختلف از Al_2O_3

ساخته شده به روش ریخته‌گری گردابی. $750^\circ C$

نوع ماده	$Al-25\%Al_2O_3$	$Al-15\%Al_2O_3$	$Al-5\%Al_2O_3$	آلیاژ زمینه
درصد ازدیاد طول (%El)	۳/۱	۴/۴	۴/۴	۵
استحکام کششی (MPa)	۱۶۵/۷۷	۱۷۰	۱۵۶	۱۱۰
سختی BHN 2.5/30	۹۸/۲	۸۵/۵	۵۰/۲	۴۵
درصد چگالی نسبی	۹۶/۹	۹۷/۳	۹۸	۹۹/۳



شکل ۵ منحنی تنش - کرنش برای انواع کامپوزیت‌های Al_2O_3 - Al-12\%Si به عنوان تابعی از درصد حجمی ذرات آلومینا



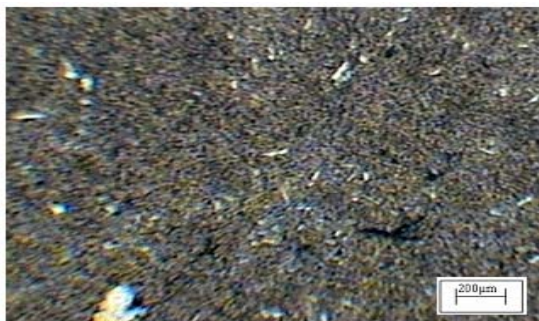
شکل ۶ ریزساختار میکروسکوپی الف: نمونه خالص، ب: ۵٪ آلومینا، ج: ۱۵٪ آلومینا، د: ۲۵٪ آلومینا. (بزرگنمایی ۲۰۰×)

طور با تصفیه ذوب منطقه ای یا جزء به جزء شمش کامپوزیتی نیز می توان به خلوص بالاتر و تخلخل کمتر رسید اما متأسفانه اجرای اهداف فوق در این تحقیق امکان پذیر نبود.

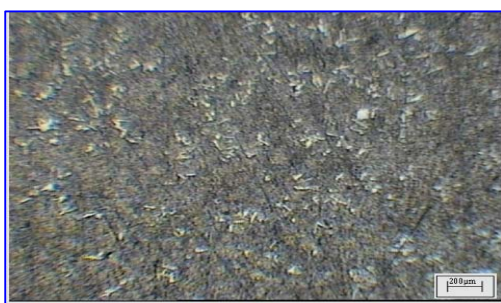
چنانچه بتوان از تشکیل تخلخل در کامپوزیت جلوگیری نمود خواص مکانیکی بالاتری از آن چه در این تحقیق به دست آمده است، حاصل می شود. این هدف با انجام عملیات ریخته‌گری در سیستم خلاء یا تحت گاز محافظ آرگون امکان پذیر خواهد بود. همین



الف



ب



ج



د

شکل ۷ ساختارهای متالوگرافی شده با بزرگنمایی ۱۰۰ الف: آلومینیوم-۱۲/سیلیسیم ب: کامپوزیت با ۶٪ وزنی ذرات TiC

ج: کامپوزیت با ۱۰٪ وزنی ذرات TiC د: کامپوزیت با ۱۸٪ وزنی ذرات TiC

جدول ۳ خواص فیزیکی و مکانیکی انواع کامپوزیت‌های TiC/Al-12%Si با درصد های مختلف از TiC

ساخته شده به روش ریخته‌گری گردابی در دمای ۷۵۰°C

آلیاژ زمینه	کامپوزیت با ۶٪ ذرات TiC	کامپوزیت با ۱۰٪ ذرات TiC	کامپوزیت با ۱۸٪ ذرات TiC	
۱۱۰	۱۴۱	۱۵۰	۱۲۶	استحکام کششی (MPa)
۴۵	۷۳	۱۰۵	۶۸	سختی BHN 2.5/30
۹۹/۳	۹۷/۲	۹۶/۸	۹۶	درصد چگالی نسبی

از ۴۵ برینل برای آلیاژ به ۱۰۵ برینل برای کامپوزیت TiC/۱۰٪ افزایش یافته اما مجدداً برای TiC/۱۸٪ به ۶۸ برینل کاهش می‌یابد، (جدول ۳). در حقیقت برای مقادیر بالاتر از TiC/۱۰٪ پیوندها در فصل مشترک ذره-زمینه ضعیف تر شده و عیوب در آن شکل می‌گیرد. استحکام کششی کامپوزیت از ۱۱۰ MPa برای آلیاژ به ۱۵۰ MPa برای کامپوزیت TiC/۱۰٪ می‌رسد جدول (۳) اما در ۱۸٪ به بالا خواص مکانیکی کاهش می‌یابد

Al-TiC ساختار آلیاژ زمینه (Al-12%Si) به طور غالب شامل فاز یوتکتیک از دو عنصر سیلیسیم و آلومینیم بوده و با حضور ذرات تقویت کننده ساختار آلیاژ زمینه ریزتر می‌شود، (شکل ۷). با افزایش تا ۱۰٪ کاربرد تیتانیم یکنواختی خوبی در توزیع ذرات وجود دارد. اما در بالاتر از آن (TiC/۱۸٪) ذرات تقویت کننده حالت کلوخه‌ای پیدا نموده، (شکل ۷-د) که کاهش خواص مکانیکی را به دنبال دارد، (جدول ۳). سختی

خواص این کامپوزیت معمولاً می‌بایستی بالاتر از کامپوزیت‌های $Al-Al_2O_3$ باشد اما به دلیل واکنش بین ذرات TiC و آلومینیم و شکل‌گیری فازهای Al_3Ti و Al_4C_3 [15] در فصل مشترک همگنی کامپوزیت را کاهش داده و به ترد شدن آن نیز کمک می‌نماید که استحکام کششی آن را کاهش می‌دهد، اما در عین حال سختی بالایی برای کامپوزیت حاصل می‌شود.

Al-B₄C: شکل (۹ الف، ب و ج) تصاویر میکروسکوپی برای کامپوزیت $Al-B_4C$ برای آلیاژ و حضور درصد‌های مختلف از کاربرد بور را نشان می‌دهد. به دلیل زاویه تر شونده‌گی بالاتر کاربرد بور نسبت به Al_2O_3 و TiC توزیع ذرات در برخی مناطق کاملاً محدود است (ذرات شبه کروی سفید رنگ). معمولاً استحکام پیوند بین ذرات و زمینه در فصل مشترک ضعیف بوده و به همین دلیل می‌توان جدا شدگی ذرات را در ضمن عملیات آماده سازی نمونه (برش، پولیش، ...) بخصوص برای ۱۵٪ که کلوخه ای شدن آنها و ضعیف شدن اتصالات چشمگیرتر است بخوبی مشاهده نمود (شکل ۹-ج) از طرفی B_4C تمایل به اکسید شونده‌گی و واکنش دهی بالایی دارد و به طور جدی نیاز به محیط اتمسفر خنثی دارد. وجود باریکه های سیاه در فصل مشترک ذرات و زمینه دلیل بر وجود اکسیدهای Al_2O_3 و B_2O_3 بوده [3,4,19] که عامل چسبندگی ذرات با زمینه هستند. البته در بعضی منابع حاشیه های سیاه رنگ را فضای خالی و تخلخل در مرز بین ذرات و زمینه به دلیل اتصال ضعیف ذکر نموده اند [4]. در بالاتر از ۱۰٪ امکان توزیع ذرات B_4C در زمینه آلومینیمی مشکل بوده و به همین دلیل خواص مکانیکی در ۱۵٪ به طور مهمی کاهش می‌یابد، (جدول ۴). با افزایش درصد کاربرد بور چگالی نسبی کامپوزیت کاهش می‌یابد (جدول ۴) و چگالی نسبی از ۹۹/۳٪ برای آلیاژ به ۹۵/۵٪ برای B_4C ۱۵٪ می‌رسد. شدت کاهش چگالی این کامپوزیت نسبت به سایر کامپوزیت شدید تر می‌باشد. با افزایش درصد کاربرد

که دلایل آن مشابه آنچه برای $Al-Al_2O_3$ آورده شد، می‌باشد.

افزایش خواص مکانیکی کامپوزیت نسبت به آلیاژ می‌تواند به دلیل عمل نمودن ذرات به عنوان موانع حرکت نابجایی و یا تکثیر آنها در نیروهای بالا باشد. هر اندازه ذرات ریزتر باشند تعداد موانع افزایش یافته و افزایش استحکام بالاتر خواهد بود. چگالی نسبی کامپوزیت نسبت به آلیاژ کاهش می‌یابد که حاکی از شکل‌گیری تخلخل در نمونه کامپوزیتی می‌باشد. برای تعیین چگونگی کیفیت ذرات TiC از نظر خلوص و عیوب، تست میکروسختی انجام شد و عدد سختی میانگین ۶۳۰ به دست آمد. سختی ذرات TiC در کامپوزیت در مقایسه با سختی ذرات خالص کاربرد تیتانیم که ۹۰۰-۱۰۰۰ ویکرز می‌باشد پایین‌تر است که می‌تواند به دلیل درشت‌تر بودن آنها در کامپوزیت و وجود یک زیر لایه یا روکش از فیلم زمینه بر روی سطح زیرین یا رویی ذره به ترتیب باشد.

عملیات ماشینکاری نشان می‌دهد که براده‌های حاصل از آلیاژ $Al-Si$ به صورت پیوسته و ورقه‌ای بوده در حالی که برای نمونه‌های کامپوزیتی $Al-TiC$ به دلیل ایجاد براده‌های منقطع و ریزتر قابلیت ماشینکاری بالاتر است، (شکل ۸).



براده های آلیاژ زمینه

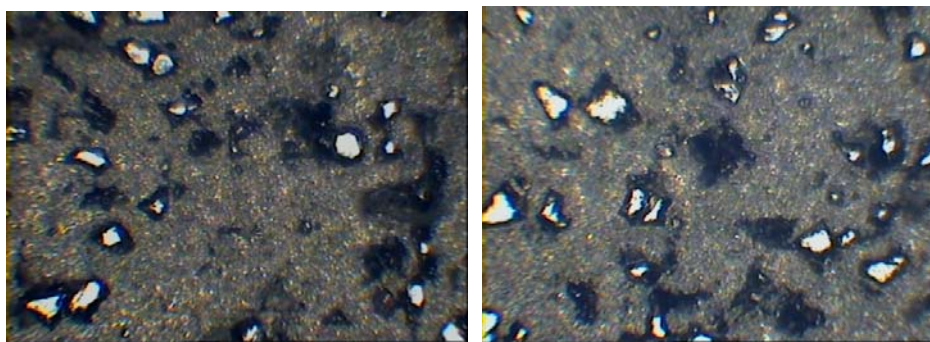


براده های کامپوزیتی

شکل ۸ براده های حاصل از ماشینکاری نمونه‌ها

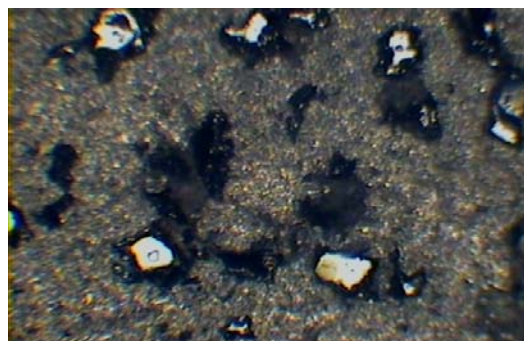
آنها می‌باشد. سختی از ۴۵ برینل برای کاربید بور به ۱۰۰ برینل برای کامپوزیت Al-B₄C-۱۰٪ و به ۷۱ برینل برای Al-B₄C-۱۵٪ می‌رسد، (جدول ۴).

بور سختی کامپوزیت روند صعودی داشته اما در ۱۵٪ وزنی به طور مهمی کاهش می‌یابد که به دلیل ضعیف شدن پیوند بین ذرات و زمینه به دلیل کلوخه ای شدن



ب

الف

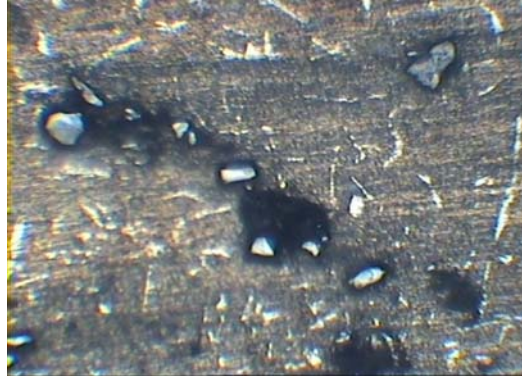


ج

شکل ۹ تصاویر میکروسکوپی برای کامپوزیت الف: ۵ درصد ب: ۱۰٪ ج: ۱۵٪ کاربید بور در زمینه آلومینیم (بدون اچ) ساخته شده به روش گردابی در دمای ۹۰۰°C (بزرگنمایی ۳۰۰×)

جدول ۴ خواص فیزیکی و مکانیکی انواع کامپوزیت‌های Al-B₄C با درصد های مختلف از B₄C ساخته شده به روش ریخته‌گری گردابی و متالورژی پودر

۰	۵	۱۰	۱۵	%B ₄ C
۹۹/۳	۹۷	۹۶/۲	۹۵/۵	درصد چگالی نسبی
۴۵	۷۳	۱۰۰	۷۱	سختی (BHN)
	۷۸	۱۰۶	۸۵	۸۵۰ °C ۱۰۰۰ °C
۱۱۰	۱۶۰/۳	۱۹۰/۷	۱۳۴/۱	استحکام کششی (MPa)
	۱۶۷/۵	۱۹۸/۴	۱۵۳/۹	۸۵۰ °C ۱۰۰۰ °C



شکل ۱۰ تصویر میکروسکوپی برای کامپوزیت ۵ درصد کاربید بور در زمینه آلومینیم (بدون اچ) ساخته شده به روش گردابی در دمای 1000°C (بزرگنمایی $\times 300$)

می‌باشد.

نتیجه گیری

نتایج ریخته‌گری گردابی نشان می‌دهد که به خاطر سبک بودن ذرات B_4C و همچنین قابلیت اکسیداسیون ذرات B_4C و TiC با اضافه کردن این ذرات در درون فویل‌های آلومینیومی توزیع بهتر و اکسیداسیون کمتری حاصل می‌شود. مطابق با نتایج به دست آمده شرایط بهینه برای ساخت کامپوزیت‌های زمینه آلومینیومی بخصوص برای ذرات تقویت کننده TiC ، Al_2O_3 می‌توان دمای ریخته‌گری حدود $700-750$ درجه سانتی گراد، سرعت هم زدن $700-750$ دور بر دقیقه، همزن با پره های توربینی و با زاویه 30 درجه نسبت به محور دوران، افزودن ذرات تقویت کننده با نرخ نسبتاً ثابت به مذاب (حداکثر $1/2$ گرم بر ثانیه)، زمان همزدن حداکثر تا 6 دقیقه برای ذرات کاربیدی و تا 17 دقیقه برای ذرات آلومینا، را در نظر گرفت. در این شرایط توزیع یکنواخت تری از ذرات حاصل می‌شود، بدون اینکه مشکلات مربوط به جذب گازهای محیطی و اکسیداسیون را به دنبال داشته باشد. برای اکسید بور لازم است دمای ریخته‌گری را تا 1000°C افزایش و با انجام تدابیر خاص مشکل ترشوندگی آن را کاهش

افزایش دمای ریخته‌گری کامپوزیت از دمای 850 به 1000°C به خاطر افزایش قابلیت ترشوندگی خواص مکانیکی افزایش می‌یابد، (جدول ۴) اما تصاویر میکروسکوپی وجود تیغه های ریز، نازک و سوزنی شکل سفید رنگ را نشان می‌دهد که تقریباً در کل مقطع پراکنده شده اند. در دمای بالاتر ریخته‌گری احتمال حذف پوشش همزن و انحلال و یا ترکیب آهن با مذاب آلومینیم افزایش می‌یابد. به طوری که می‌توان سوزن های مشاهده شده را به فریت آلومینیم مرتبط نمود [28]. لازم به ذکر است که در دمای یوتکتیک Al-Fe (655°C) انحلال آهن در آلومینیم حدود $2/2$ بوده به طوری که در هنگام سرد شدن و خارج شدن از حد حلالیت به شکل Al_3Fe ظاهر می‌شود [29]. در ضمن انرژی آزاد تشکیل ترکیب فوق منفی بوده و با افزایش دما منفی تر می‌شود ($\Delta G = 12700 - 3/T$).

علی رغم مشکلات مربوط به عدم ترشوندگی برای ذرات B_4C کامپوزیت $\text{Al-10\%/B}_4\text{C}$ بالاترین خواص مکانیکی را نسبت به دو گروه دیگر می‌دهد که مربوط به ماهیت قوی تر بودن و بالاتر بودن درجه کوالانتهی آن می‌باشد. اما لازمه آن انجام فرآیند ریخته‌گری در دماهای بالاتر و فائق آمدن بر مشکلات مربوط به عدم ترشوندگی و در ضمن سبک بودن آن

آلیاژ تغییر قابل توجهی ندارد. خواص ماشین کاری کامپوزیت‌های فوق نسبت به آلیاژ آلومینیم به دلیل وجود ذرات سخت تقویت کننده بهبود یافته و براده‌های پیوسته حاصل از ماشینکاری برای آلومینیم به صورت منقطع در می‌آیند.

داد. با وجود این فقط تا B_4C ۱۰٪ خواص مکانیکی افزایش می‌یابد اما خواصی معادل و حتی بالاتر از دو گروه دیگر را به دست می‌دهد. با افزایش درصد وزنی ذرات آلومینا تا کمتر از ۲۵٪ و کاربید تیتانیم تا کمتر از ۱۸٪ درصد، سختی و استحکام کامپوزیت $Al-Al_2O_3$ افزایش یافته و این در حالی است که وزن مخصوص

مراجع

1. Frage, N., "Manufacturing B_4C -(Al,Si) composite materials by metal Alloy infiltration", *J. of Mat. Process. Tech.*, 144, pp.486-490, (2003).
2. Sreekumar, K.R., Ravi, V.M., Pillai, R.M and Mahato, C., "Optimization Of mixing parameters through a water model for metal matrix composites synthesis", *Mat design*, Vol 37, pp. 113-123, (2005).
3. Marianna Kouzeli, "Effect of reaction on the tensile behavior of infiltrated boron carbide-aluminum composites ", *J. of Mat. Process. Tech.*, 158, pp.124-131, (2002).
4. Lee, K.B., "Reaction products of Al-Mg/ B_4C composite fabricated by pressurless infiltration technique ", *J. Mat. Sci and Eng.*, A302, pp. 227-234, (2001).
5. Shorowordi, K.M. and et al., "Microstructure and interface characteristics of B_4C ,SiC and Al_2O_3 reinforced Al matrix composites", *J. of Mat. Process. Tech.*, 142, pp.738-743, (2003).
6. Forn, A., Baile, M.T., and Ruperez, E., "Spinl effect on the mechanical Properties of metal matrix composites with Al_2O_3 particles", *J. of Mater. Process. Tech.*, Vol 134-144, pp. 58-61, (2003).
7. Doel, T.J.A., and Bowen, P., "Tensile properties of particle reinforced Metal matrix composites", *composite* , part A, Vol. 27, pp, 655- 665, (1996).
8. Zhao, D., Tuler, F.R. and Lioyd, D.J., "Fracture at elevated temprature in a particle reinforced composites" *Acta Mater.*, Vol 42, pp. 2525-2533, (1994).
9. Vedani, M., and Gariboldi, E., "Damage and ductility of particulate and Short-fibre Al- Al_2O_3 Composites", *Acta mater.*, Vol 44, pp.3077-3088, (1996).
10. Nikhilesh, Ch., and Krishhan k,Ch., "*Metal Matrix Composites*", Arizona State University and Tempe Az, University of Alabama at Birmingham, (2006).
11. Kennedy, A.R., Weston, D.P., and Jone, M.I., "Reaction in Al-TiC metal matrix composite, *Materials Science and Engineering*", Vol. 316, pp. 32-38, (2001).
12. Surappa, M.K., "Aluminium Matrix Composite:challenges and opportunities, *materials science and engineering A*", Vol.28., pp.319-334, (2005).

13. Shinobu, H., Akira, y., "Fabrication and characterization of TiC/Al composites", *Materials Science and Engineering A*, Vol.265, pp. 71-76, (2007).
14. Datta G.L., and Chakraborty M., "A study on the machinability behaviour of Al-TiC composite prepared by in situ technique", *Materials Science and Engineering A*, Vol.428, pp.34-40, (2006).
15. Kenned A..R., and Wyatt S.M., Characterising paticle-matrix interfacial bonding in particulate Al-TiC MMC produced by different methods, *Composites*, Part A, Vol. 32, pp. 555-559, (2001).
16. Tang Feng, "Dry sliding friction and wear properties of B₄C particulate-reinforced Al-5083 matrix composites", *Wear*, 264, pp.555-561, (2008).
17. Krishan.k. Chawla., "*Composite Materials Science and Engineering*", 4th Edition Dep of Materials and Metallurgical Engineering New Mexico Socorro, N.M 87801\USA, pp. 4-24., (1989).
۱۸. محمد ملازاده، "ساخت کامپوزیت آلومینیوم - زیرکونیا به روش ریخته گری گردابی"، یازدهمین کنگره سالانه انجمن مهندسیین متالورژی ایران، (۱۳۸۶).
19. Aizenshtein M., "Wetting and interface in the B₄C/Al-Me (Me=Cu,Sn) systems ", *Materials Science and Engineering A*, 474, pp. 214-217, (2008).
20. Hong S.J, Kim H.M, Huh D. and Chune B.S., "Effect of clustering On the mechanical properties of SiC particulate reinforced aluminum Alloy 2024 MMC", *Mater. Sic Eng. A*, Vol. 347, pp. 198-204, (2003).
۲۱. محمود محمودی، "تولید کامپوزیت Al-SiC به روش ریخته گری همزدنی و تأثیر منیزیم بر ترشوندگی ذرات SiC"، یازدهمین کنگره سالانه انجمن مهندسیین متالورژی ایران، (۱۳۸۶).
22. Hashim J., Looney L. and Hashmi, M.S.J., "particle distributon in cast metal matrix composites," *J Mater. Process. Tech.*, Vol. 123, pp. 258-263, (2002).
23. Jasmi Hashim , "The production of cast metal matrix composite by a modified stir casting method", *Journal of Technology*, Vol.35, pp. 9-20, (2001).
24. Bala S., Vanandha Prabo S., Namoorthy L. K. and Kathiresan S., "Influence of stirring speed and stirring time on distribution of particles in cast metal matrix composites", *J. Mat . Process. Tech.*, Vol. 171, pp. 268-273, (2006).
25. Hashim J. , Looney L and Hashmi M.S.J , "Metal Matrix Composite Production by the stir-casting method", *J.of Mater. Process. Tech.*, Vol 92-93, pp. 1-7, (1999).
26. Ralph B. Yuen H.C. and Lee, W.B, "The processing of metal matri Composites, an overview", *J. Mat. Process. Tech .*, Vol. 63, pp. 339-353, (1997).
27. Hashim, J. , Looney, L. and Hashmi, M.S.J., "The enhancement of wetability of SiC partiel in cast aluminium matrix composites", *J.Mat. Process. Tech.*, Vol. 119, pp. 329-335, (2001).
28. Shaverdi, H. R. and et al., "Microstructural analysis of interfacial reaction between molten aluminium and solid iron", *J.Mat. Process. Tech.*, Vol. 124, pp. 345-352, (2002).

۲۹. ناصر توحیدی، محمد صالح مسعودی، "انحلال آهن اسفنجی در آلومینیم مذاب برای تولید کامپوزیت $Al-Al_3Fe$ "، سمپوزیم فولاد ۸۳، شرکت فولاد آلیاژی ایران- یزد، (۱۳۸۳).
